



بیست و یکمین کنفرانس اپتیک و فوتونیک ایران
و هفتمین کنفرانس مهندسی و فناوری فوتونیک ایران
۲۳ تا ۲۵ دی ماه ۱۳۹۳، دانشگاه شهید بهشتی



غیرخطیت مرتبه دوم موثر تقویت شده در اثر تشدید پلاسمونیک نانو سیم طلا

رعنا عسگری ثابت^۱، حبیب خوش سیما^۱، عبدالرحمان نامدار^۲، وحید احمدی^۳

^۱ پژوهشکده فیزیک کاربردی و ستاره شناسی، دانشگاه تبریز، تبریز

^۲ دانشکده فیزیک، دانشگاه تبریز، تبریز

^۳ دانشکده مهندسی برق و کامپیوتر، دانشگاه تربیت مدرس، تهران

چکیده - نانو سیم طلا با سطح مقطع مربعی شکل برای تقویت غیرخطیت مرتبه دوم دی الکتریک دربرگیرنده آن مورد استفاده قرار گرفته است. نتایج حاصل از شبیه سازی نشان می دهد که تشدید پلاسمونیک ساختار مورد نظر در طول موج $1.5 \mu m$ رخ داده و منجر به جایگزیده شدن انرژی الکترومغناطیسی در دو انتهای نانو سیم می شود. درجه جایگزیدگی مرتبه دوم میدان الکتریکی برای سلول واحد مورد نظر محاسبه شده است. برای بدست آوردن دامنه میدان های هارمونیک دوم عبوری و انعکاسی از سلول واحد شامل نانو میله احاطه شده توسط دی الکتریک با غیرخطیت مرتبه دوم، از روش شبیه سازی المان محدود حوزه زمان استفاده شده است. به این منظور از مدل درود حوزه زمان استفاده شده است. پذیرفتاری الکتریکی موثر برای ساختار مورد نظر به روش بازیابی غیرخطی محاسبه گردیده است.

کلید واژه- تشدید پلاسمونیک، جایگزیدگی میدان الکتریکی، پذیرفتاری الکتریکی موثر، غیرخطیت افزایش یافته

Enhanced effective second-order nonlinearity due to the plasmonic resonance of the gold nano wire

Rana Asgari Sabet¹, Habib Khoshsiman¹, Abdolrahman Namdar², Vahid Ahmadi³

¹ Research institute for applied physics and astronomy, University of Tabriz, Tabriz

² Faculty of physics, University of Tabriz, Tabriz

³ Faculty of electrical and computer engineering, Tarbiat Modares University, Tehran

Abstract- A golden nanowire with square cross section is used to enhance the second-order nonlinearity of the embedding nonlinear dielectric. Simulation results using the finite element based software reveal that the plasmonic resonance of the considered structure occurs in the wavelength $1.5 \mu m$. Second-order localization factor is obtained for the considered structure. To obtain the amplitude of the transmitted and reflected second-harmonic fields, finite element time domain simulation is used. Drude model in time domain is applied in these simulations. The effective electric susceptibility is retrieved using nonlinear retrieval method.

Keywords: Plasmonic resonance, electric field localization, effective susceptibility, enhanced nonlinearity

۱- مقدمه

پیشرفت های اخیر در تکنیک های تولید نانو ساختارها، امکان ایجاد ساختارهای فلزی در ابعاد زیر طول موجی را فراهم می کند. در فرکانس های پایین فلزات بصورت رسانای کامل عمل می کنند و عمق نفوذ در این فرکانس ها خیلی کم می باشد. در فرکانس های اپتیکی (مادون قرمز و مرئی) رفتار اپتیکی فلزات بگونه ای است که نمی توان آن ها را رسانای کامل نامید و عمق نفوذ در این فرکانس ها در حدود چند ده نانومتر می باشد. در اینصورت در مرز بین فلز و دی الکتریک اندرکنش تشدیددی بین بارهای سطحی نوسان کننده و میدان الکترومغناطیسی نور تابشی، پلاسمون پلاریتون های سطحی را ایجاد می کند. وقتی نور با ذرات فلزی در ابعاد نانومتر و کوچکتر از طول موج نور اندرکنش کند، الکترون ها بطور محلی حول نانو ذره نوسان می کنند و پلاسمون پلاریتون های جایگزیده تشکیل خواهد شد [۱]. در فرکانس تشدید انرژی الکترومغناطیسی در ناحیه زیر طول موجی جایگزیده می شود و این ساختار ها کاربردهایی نظیر نانو آنتن [۲] و حسگر [۳] یافته اند. در این مقاله آرایه ای از نانو سیم ها با سطح مقطع مربعی شکل برای ایجاد تشدید در طول موج $1/5 \mu\text{m}$ مورد بررسی قرار گرفته است. با استفاده از نتایج شبیه سازی فاکتور جاگزیدگی برای سلول واحد ساختار مورد نظر و نیز پارامترهای موثر خطی آن به روش بازگشتی محاسبه شده است. سپس محیط دربرگیرنده نانو سیم، دی الکتریک غیرخطی مرتبه دوم در نظر گرفته شده است. پذیرفتاری الکتریکی موثر برای این ساختار با استفاده از روش بازبایی غیرخطی محاسبه شده است [۴]. نتایج بررسی نشان می دهد که تقویت تولید هارمونیک دوم در مقایسه با برش سیمی احاطه شده توسط دی الکتریک غیرخطی در محدوده گیگا هرتز [۶ و ۵ و ۴]، بیشتر بوده است.

۲- شبیه سازی

در این مطالعه، سلول واحد آرایه ای از نانو سیم های طلا که در راستای x و y متناوب می باشند، مکعب مربعی به ضلع 300 nm در نظر گرفته شده است. نانو سیمی به طول 250 nm و سطح مقطع مربعی شکل به ضلع nm

۲۰ در مرکز این سلول واحد قرار گرفته است و محور بلند سیم در راستای x می باشد. با استفاده نرم افزاری که بر پایه روش المان محدود می باشد، توزیع میدان های الکتریکی و مغناطیسی و نیز طیف عبور و انعکاس سلول واحد ساختار مورد نظر، با فرض اینکه محیط اطراف نانو سیم هوا می باشد، در محدوده فرکانسی $500-100 \text{ THz}$ بدست آمده است. وابستگی فرکانسی تابع دی الکتریک طلا طبق رابطه درود با فرکانس پلاسمایی $\omega_p = 1.38 \times 10^{16} \text{ [s}^{-1}\text{]}$ و ثابت میرایی $\Gamma = 2\pi \times 6.5 \times 10^{-12} \text{ [s}^{-1}\text{]}$ در نظر گرفته شده است [۷]. موج تختی که در راستای z انتشار می یابد، با قطبشی در راستای محور بلند سیم بطور عمود بر سلول واحد در دو راستای عمود بر جهت انتشار شرایط مرزی متناوب استفاده شده است. با مشخص شدن فرکانس تشدید ساختار مورد مطالعه، محیط دربرگیرنده نانو سیم طلا محیط غیرخطی مرتبه دوم با پذیرفتاری الکتریکی $\chi_d^{(2)} = 10^{-12} \text{ [m/V]}$ در نظر گرفته شده است. برای محاسبه دامنه میدان های عبوری و انعکاسی هارمونیک دوم، از بخش حوزه زمان نرم افزار المان محدود استفاده شده است. در این بخش باید از مدل درود در حوزه زمان برای در نظر گرفتن وابستگی فرکانسی تابع دی الکتریک طلا استفاده شود. به این منظور باید رابطه دیفرانسیلی زیر برای قطبش، بصورت مزدوج با معادلات ماکسول حل شود [۸]

$$\frac{\partial^2 \vec{P}}{\partial t^2} + \Gamma \frac{\partial \vec{P}}{\partial t} = \epsilon_0 \omega_p^2 \vec{E}. \quad (1)$$

در این بخش از شبیه سازی موج تختی به صورت $E = E_0 \cos(\omega t)$ با دامنه $E_0 = 10 \text{ GV/m}$ و $\omega = 2\pi/\lambda$ ، که در آن λ طول موج تشدید می باشد، به ساختار مورد نظر اعمال می شود. با اعمال تبدیل فوریه به سیگنال های عبوری و انعکاسی متغیر با زمان، دامنه مختلط میدان های الکتریکی در فرکانس اصلی و هارمونیک دوم محاسبه می شود.

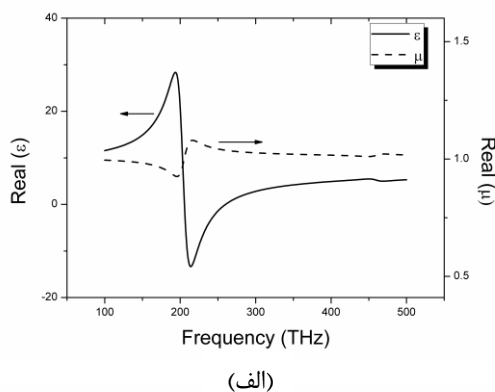
۳- نتایج شبیه سازی

موج می باشد می توان نانوسیم احاطه شده با دی الکتریک غیرخطی را به عنوان یک محیط غیرخطی همگن با پذیرفتاری الکتریکی موثر $(\chi_{eff}^{(2)})$ در نظر گرفت. برای محاسبه پذیرفتاری الکتریکی موثر از روش بازگشتی غیرخطی که بر پایه روش ماتریس انتقال می باشد، استفاده شده است [۴]. در این روش مشخصات خطی موثر (گذردهی الکتریکی و تراوایی مغناطیسی) در فرکانس تابشی و هارمونیک دوم باید معلوم باشد. این کمیت ها با استفاده از روش بازگشتی متداول [۱۱]، از روی ضرایب عبور و انعکاس محاسبه گردیده است که در شکل (۲) نشان داده شده است.

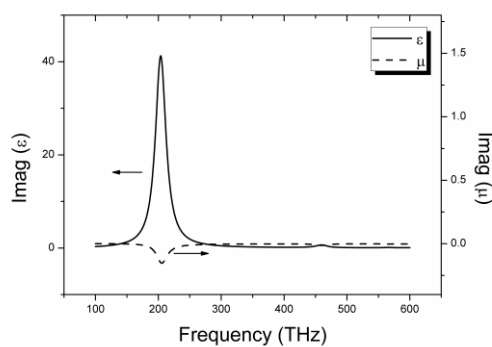
نتایج حاصل از شبیه سازی المان محدود حوزه فرکانس نشان می دهد که با انتخاب مناسب ابعاد نانو سیم، در فرکانس متناظر با طول موج $1/5 \mu m$ یک تشدید رخ می دهد که بصورت قله ای در طیف انعکاس ظاهر می شود. در حقیقت در این فرکانس یک توزیع بار مشابه دوقطبی تحریک می شود که یک موج سطحی ایستا در راستای سیم القا می کند و تشدید پلاسمونیک نامیده می شود [۹]. این امر موجب جایگزیده شدن میدان الکتریکی در دو انتهای سیم می گردد. با استفاده از توزیع میدان الکتریکی فاکتور جایگزیدی مرتبه دوم از رابطه زیر:

$$L(|E|^2) = \frac{\int_v |E_{unitcell}(\vec{r})|^2 d\vec{r}^3}{\int_v |E_{hom}(\vec{r})|^2 d\vec{r}^3} \quad (2)$$

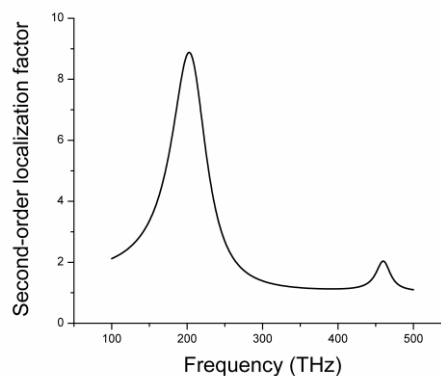
که نسبت انتگرال حجمی اندازه میدان الکتریکی به توان ۲، روی سلول واحد ساختار مورد نظر به همان انتگرال برای یک لایه همگن با ویژگی های خطی هم ارز می باشد [۱۰]، محاسبه گردیده است (شکل ۱).



(الف)



(ب)



شکل ۱: فاکتور جایگزیدی مرتبه دوم برای ساختار مورد نظر.

شکل ۲: قسمت حقیقی (الف) و موهومی (ب) گذردهی الکتریکی (ϵ) و تراوایی مغناطیسی (μ) موثر محاسبه شده به روش بازیابی.

تشدید می شود به فرم لورنتز در گذردهی الکتریکی موثر مشاهده می شود بدلیل تحریک تشدید پلاسمونیک می باشد [۱۲]. برای محاسبه دامنه مختلط میدان های عبوری و انعکاسی، تبدیل فوریه بر سیگنال های عبوری و انعکاسی اعمال شده است. دامنه این میدان ها در شکل

همانطور که در شکل (۱) ملاحظه می شود، در اثر تشدید پلاسمونیک فاکتور جایگزیدی در فرکانس تشدید برابر $8/8$ می باشد. این مقدار در مقایسه با سیم های فلزی که قبلا برای افزایش غیر خطیت مورد بررسی قرار گرفته اند [۱۰ و ۶ و ۵]، تقریبا چهار برابر بزرگتر می باشد. قله ی دوم که در فرکانس 450 THz مشاهده می شود، مربوط به تشدید مرتبه ی بالاتر می باشد. به دلیل اینکه ابعاد سلول واحد و نانو سیم کوچکتر از طول

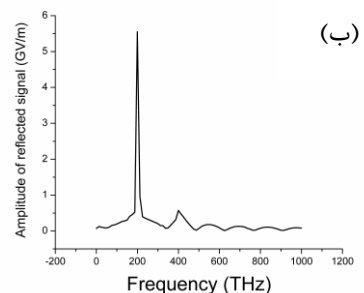
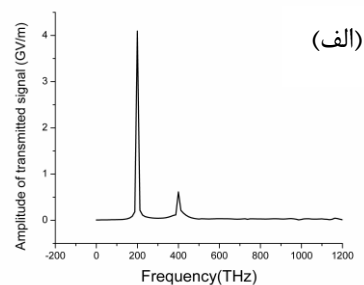
دربرگیرنده نانوسیم مورد استفاده قرار گرفته است. نتایج شبیه سازی المان محدود حوزه فرکانس نشان می دهد که تشدید پلاسمونیک ساختار مورد نظر در طول موج $1/5 \mu\text{m}$ رخ می دهد. درفرکانس تشدید درجه جایگزیدگی مرتبه دوم میدان الکتریکی $8/8$ بدست آمده است که در مقایسه با ساختارهای مشابه بررسی شده در فرکانس های پایین تر تقریبا چهار برابر شده است. سپس محیط اطراف نانو سیم دی الکتریک غیرخطی مرتبه دوم در نظر گرفته شده است. با استفاده از شبیه سازی المان محدود حوزه زمان دامنه میدان های اصلی و هارمونیک دوم عبوری و انعکاسی محاسبه گردیده است. پذیرفتاری الکتریکی موثر $\chi_{eff}^{(2)}$ ، برای ساختار مورد نظر، که با استفاده از روش بازگشتی غیرخطی محاسبه شده است، در مقایسه با پذیرفتاری الکتریکی دی الکتریک غیر خطی $\chi_d^{(2)}$ ، استفاده شده 300 برابر شده است.

مراجع

- [1] Biagioni P., Huang J.-S., Hecht B., *Nanoantennas for visible and infrared radiation*, **Rep. Prog. Phys.** 75(2) (2012) 024402.
- [2] Crozier K. B., Sundaramurthy A., Kino G. S., Quate C. F., *Optical antennas: Resonators for local field enhancement*, **Appl. Phys.** 94(7) (2003) 4632-4642.
- [3] Amanda J., Christy L., Haynes Adam D., *Plasmonic materials for surface-enhanced sensing and spectroscopy*, **MRS BULLETIN**, 30 (2005) 368-375.
- [4] Larouche S, Smith D. R. *A retrieval method for nonlinear metamaterials*. **Opt. Commun** 283 (2010) 1621-1627.
- [5] Sabet R. A., Khoshsima H., Namdar A., Ahmadi V., *Retrieval of the effective quadratic and cubic susceptibilities in metamaterials*, **J. Mod. Optic.** (2014) 1-5.
- [6] رعنا عسگری ثابت، حبیب خوش سیما، عبدالرحمان نامدار، وحید احمدی، تولید هارمونیک دوم تقویت شده در ساختار فراماده غیرخطی، بیستمین کنفرانس اپتیک و فوتونیک ایران (۱۳۹۲).
- [7] Linden S., Enkrich CH., Wegener M., Zhou J., *Magnetic response of metamaterials at 100terahertz*, **Science**. 306 (2004) 1351-1353.
- [8] Jichun L. Aihua W., *Finite Element Analysis for Wave Propagation in Double Negative Metamaterials*, **J. Sci. Comput.** 32 (2003) 263-286.
- [9] Gao H., *Fabrication and optical characterization of metamaterials and nano-antennas*, **Ph.D Thesis**, 2008.
- [10] Rose A., Larouche S., Smith D. R., *Quantitative study of the enhancement of bulk nonlinearities in metamaterials*, **Phys. Rev. A** 84 (2011) 053805(1-13).
- [11] Smith D. R, Vier D. C., Th. Koschny, Soukoulis C. M., *Electromagnetic parameter retrieval from inhomogeneous metamaterials*, **Phys. Rev. E**. 71 (2005) 036617(1-11).
- [12] Pshenay-Severin, E., *Design, realization, and characterization of optical negative index metamaterials*, **Ph.D thesis**, 2011.

(۳) نشان داده شده است. همچنین اختلاف فاز میدان های عبوری و انعکاسی نسبت به میدان تابشی نیز محاسبه گردیده است.

در نتیجه با علم بر مشخصات خطی موثر، ضخامت و دامنه میدان های هارمونیک دوم برای ساختار مورد نظر می توان پذیرفتاری الکتریکی موثر را بازیابی نمود. نتایج محاسبات از طریق روش بازگشتی غیرخطی نشان می دهد که پذیرفتاری الکتریکی موثر تقریبا 300 برابر پذیرفتاری الکتریکی دی الکتریک غیرخطی دربرگیرنده نانوسیم می باشد ($\frac{\chi_{eff}^{(2)}}{\chi_d^{(2)}} = 300$). این مقدار افزایش در مقایسه با ساختارهای شامل سیم فلزی در فرکانس های پایین که در آن ها تشدید پلاسمونیک رخ نداده است [۴ و ۵ و ۶]، یک مرتبه مقداری بزرگتر می باشد.



شکل ۳: دامنه میدان عبوری (الف) و انعکاسی (ب) حاصل از تبدیل فوریه.

نتایج حاصل نشان می دهد که ساختار ذکر شده می تواند به عنوان وسیله ای برای تولید منابع نوری در نانو ابزار های فوتونیک مورد استفاده قرار گیرد.

۳- نتیجه گیری

در این مقاله سلول واحد آرایه ای از نانو سیم های طلا برای افزایش غیر خطیت دی الکتریک غیرخطی